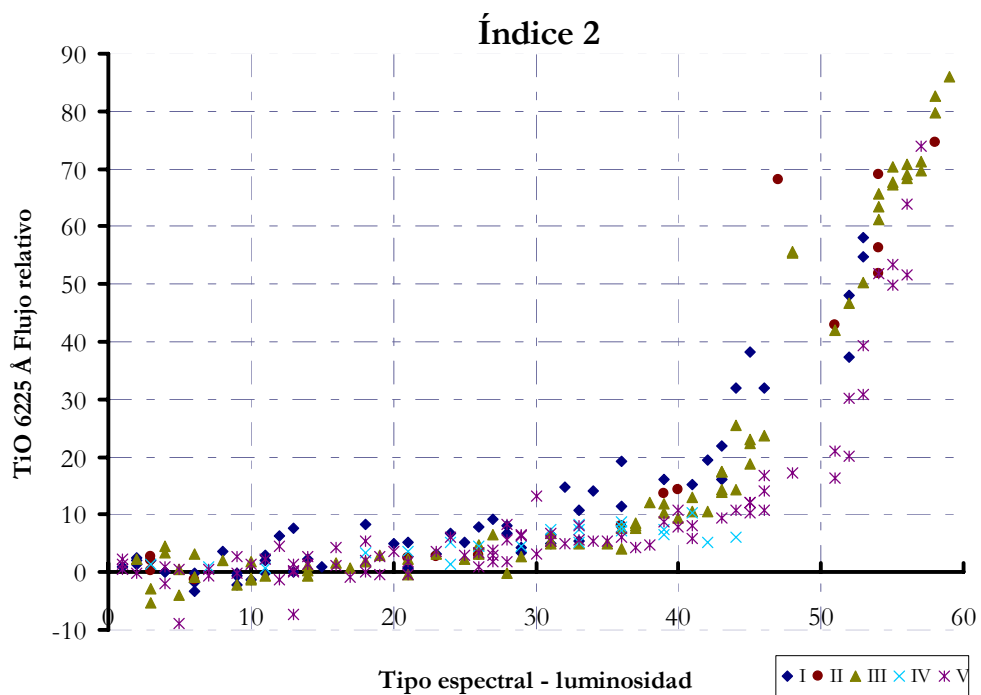
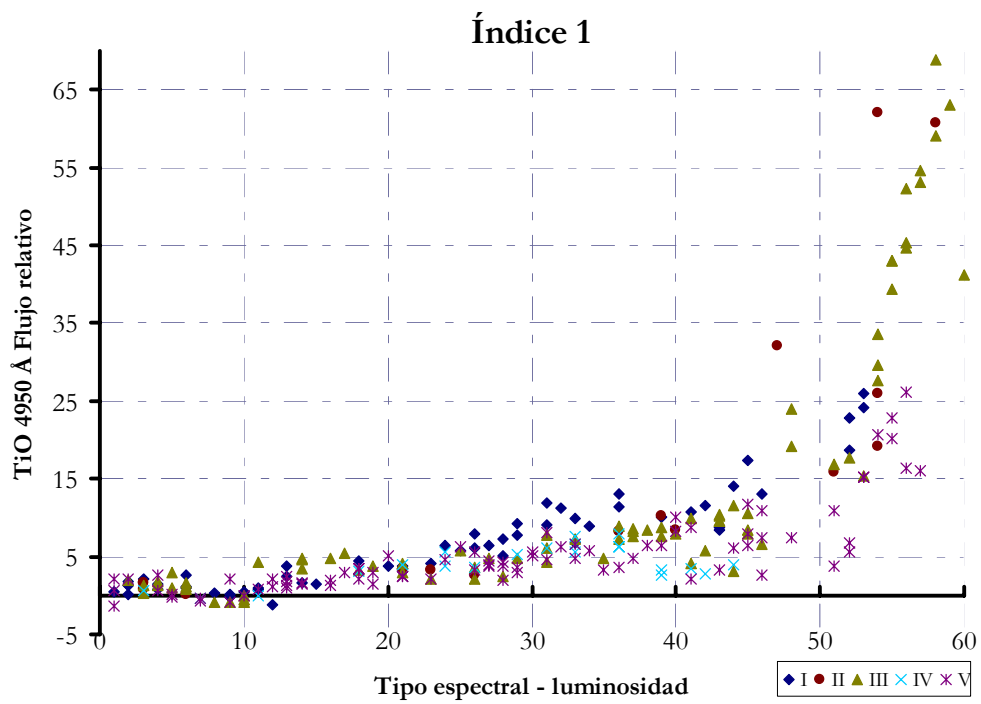
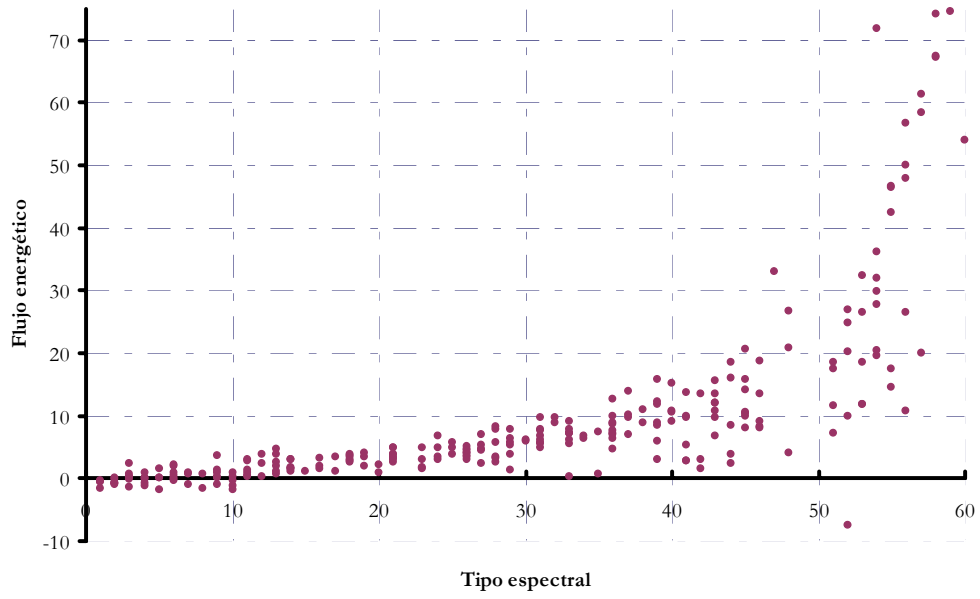


ANEXO III: ANÁLISIS DE SENSIBILIDAD

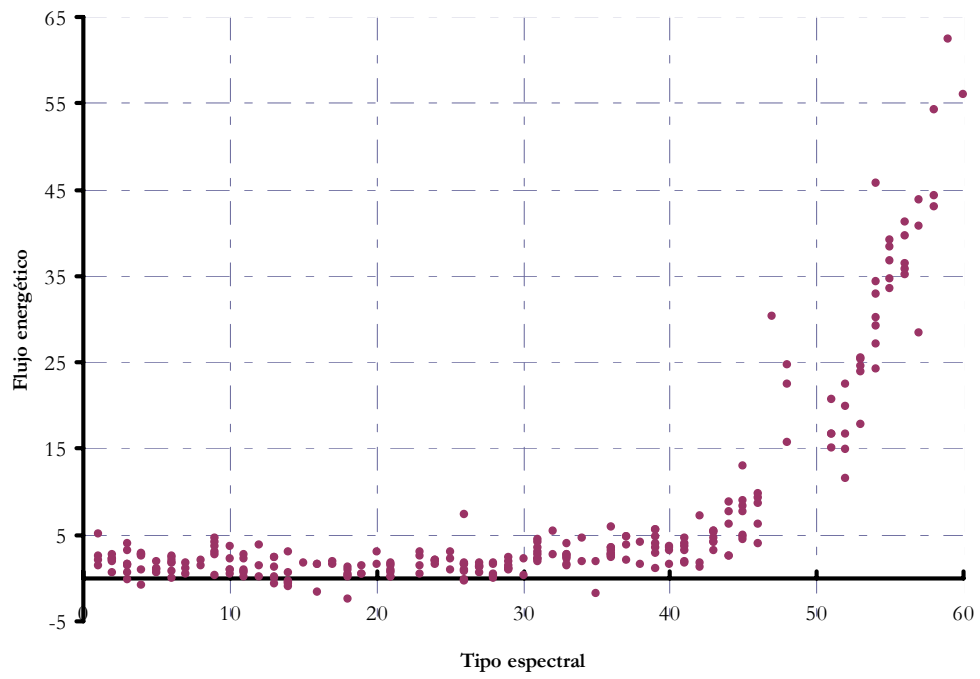
Enfoque híbrido I



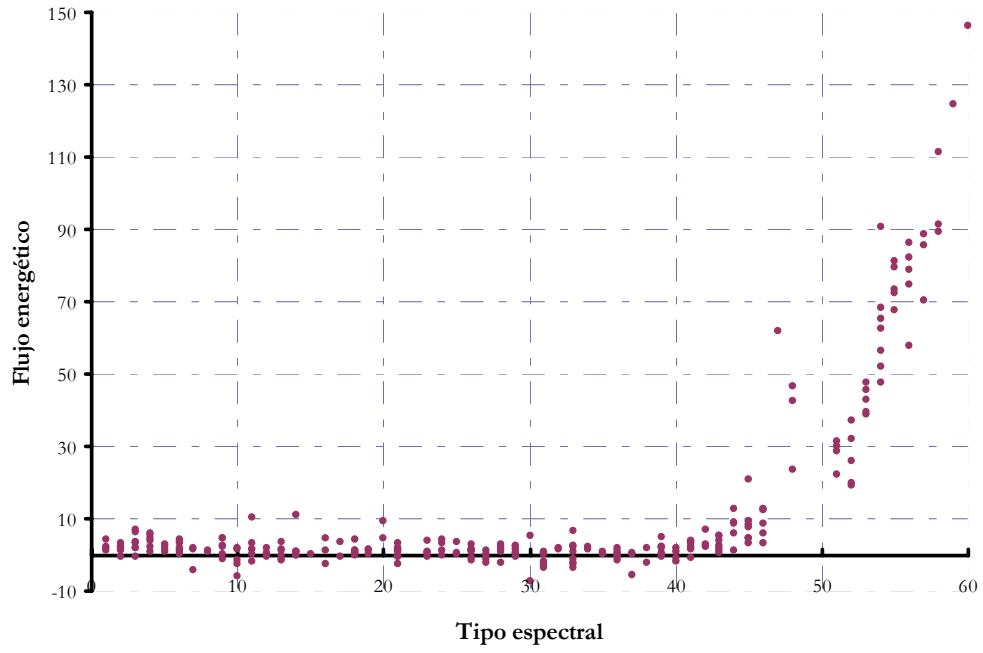
Banda 5160 (Id. 3)



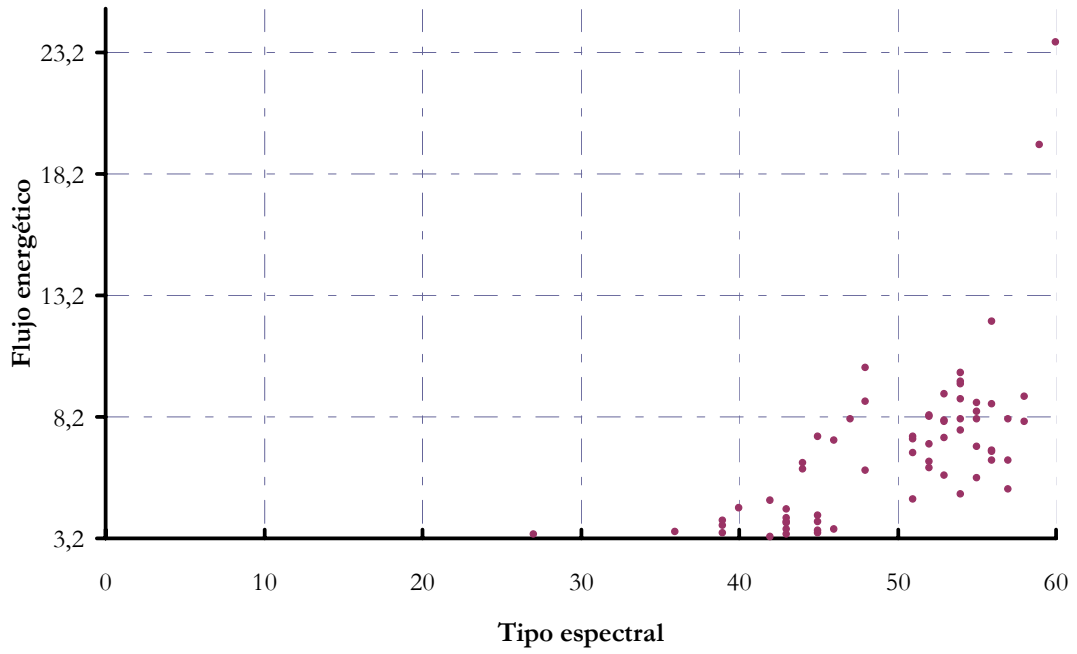
Banda 5840 (Id. 4)



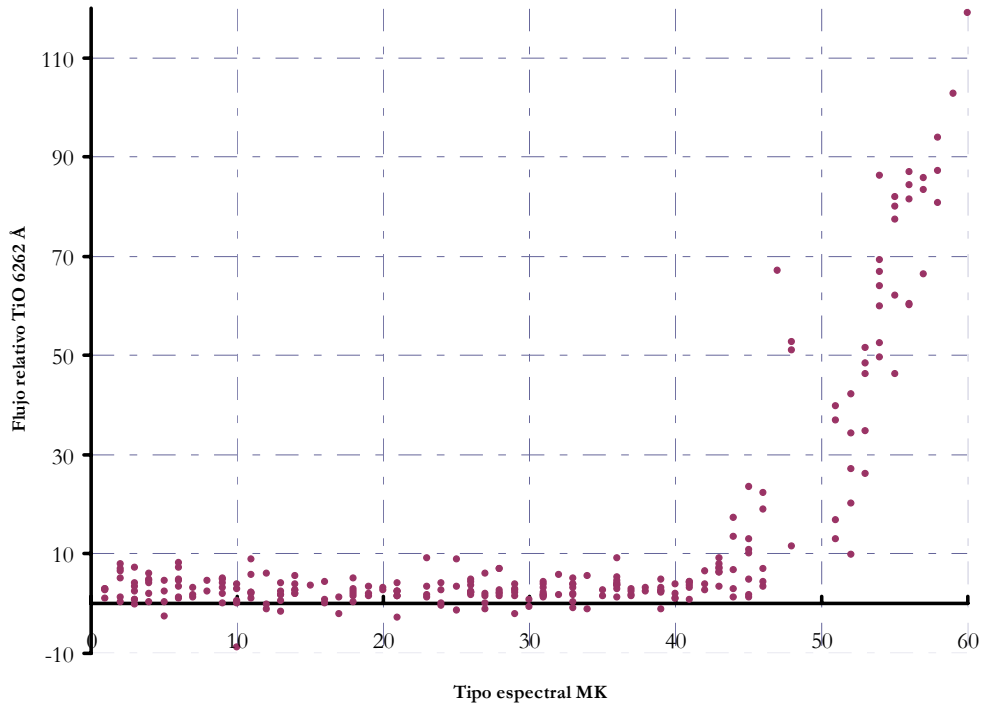
Banda 5940 (Id. 5)



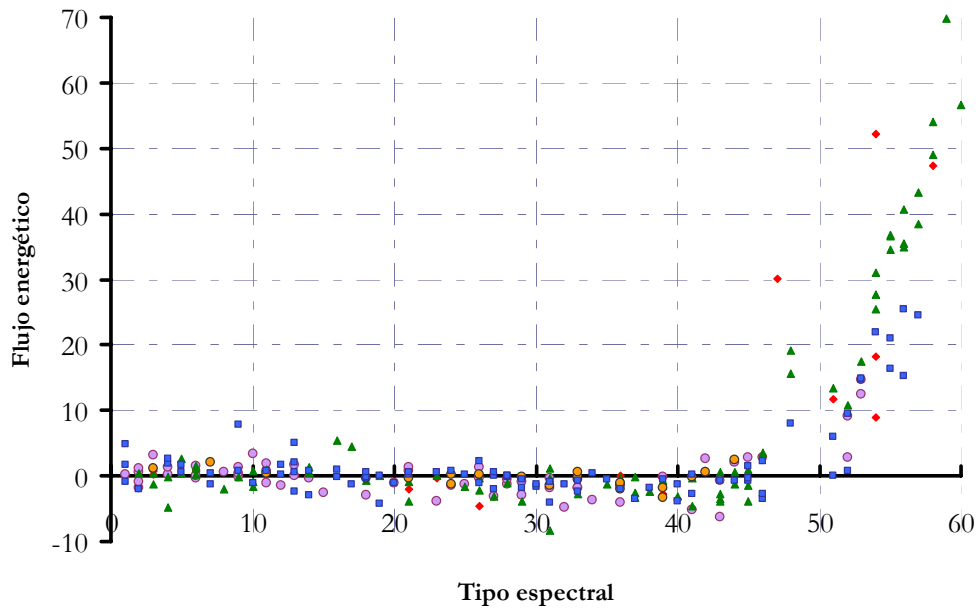
Banda 6245 (Id. 6)



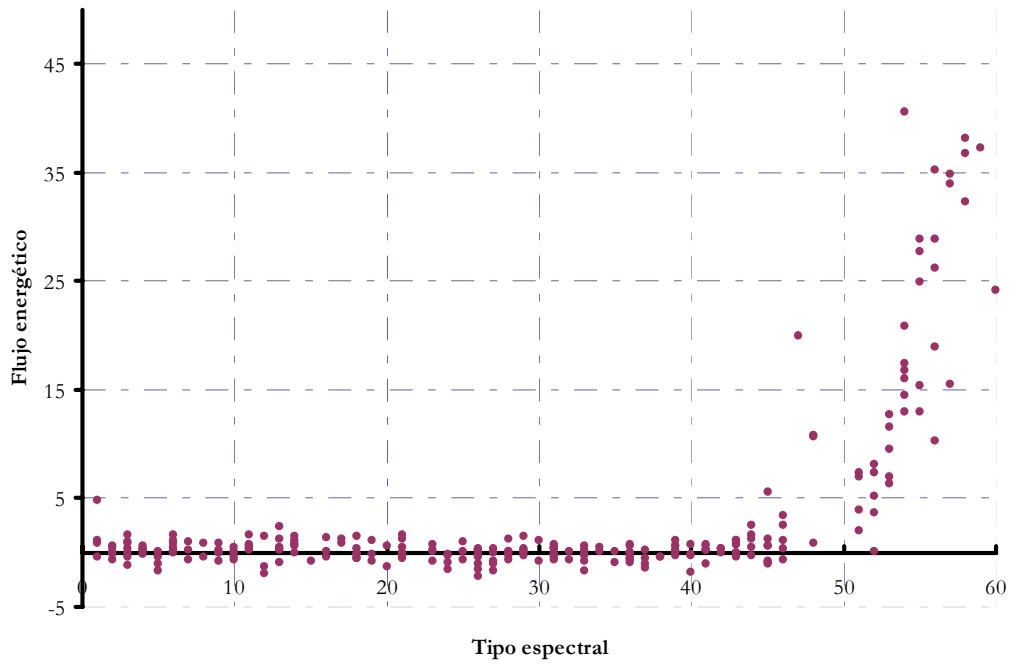
Banda 6262 (Id. 7)



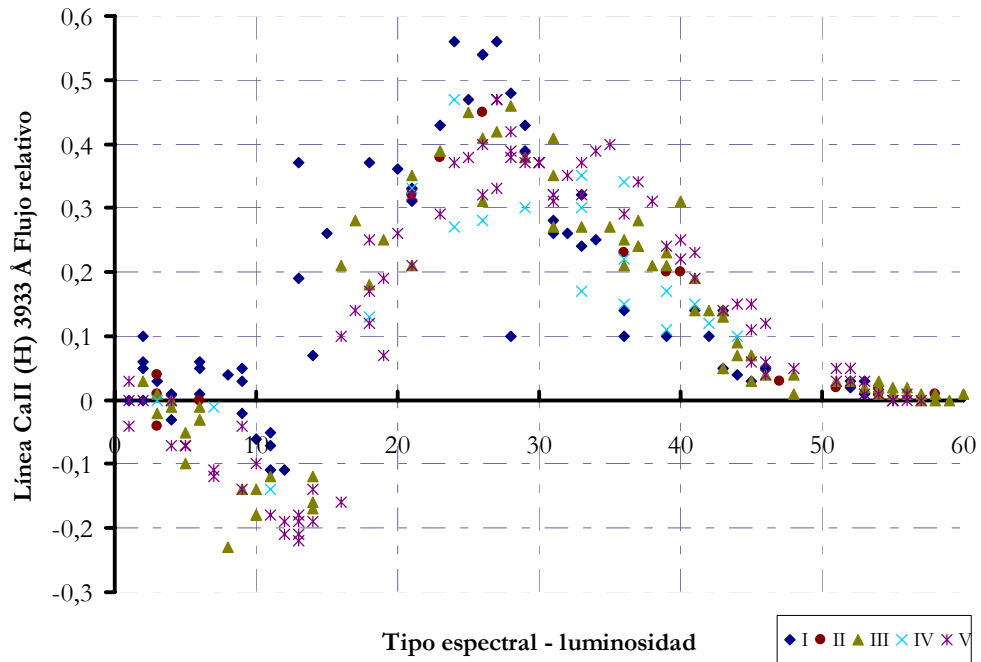
Banda 6745 Luminosidad (Id. 8)



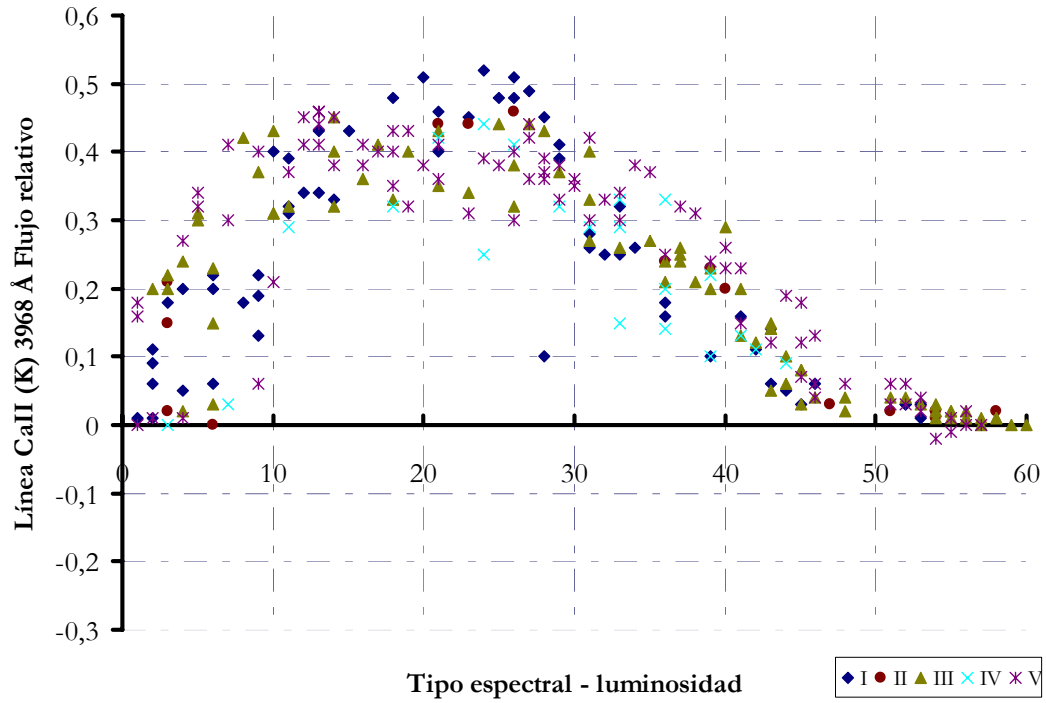
Banda 7100 (Id. 9)



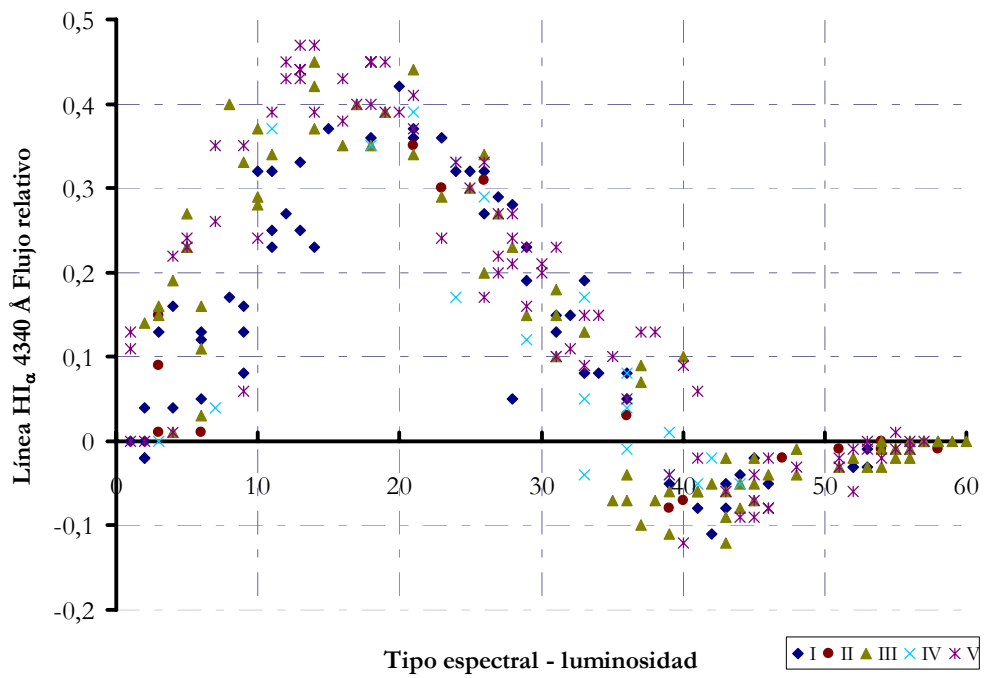
Índice 10



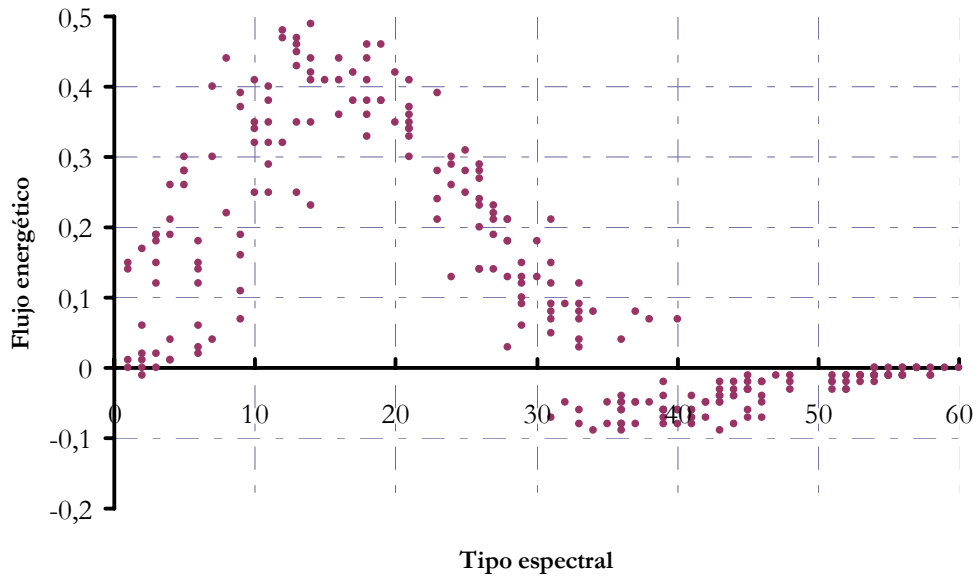
Índice 11



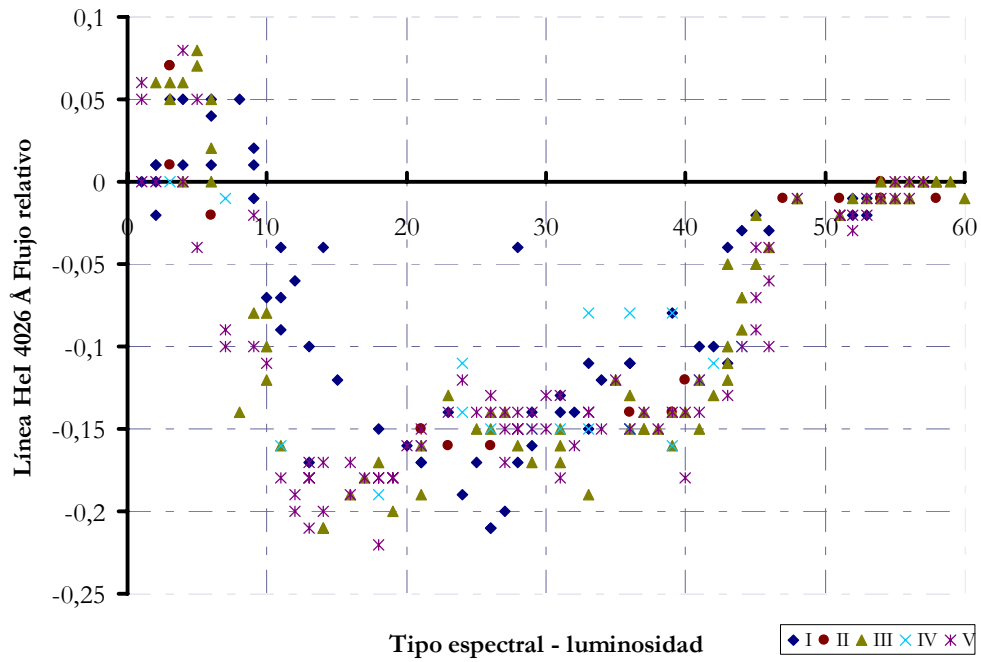
Índice 12



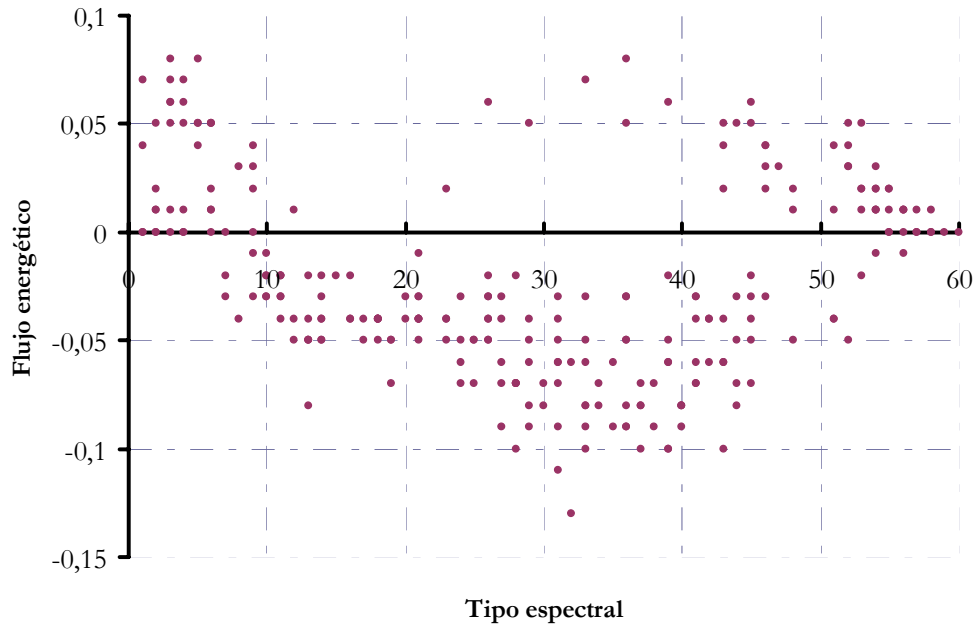
Línea HI₈ 4102 A (Id. 13)



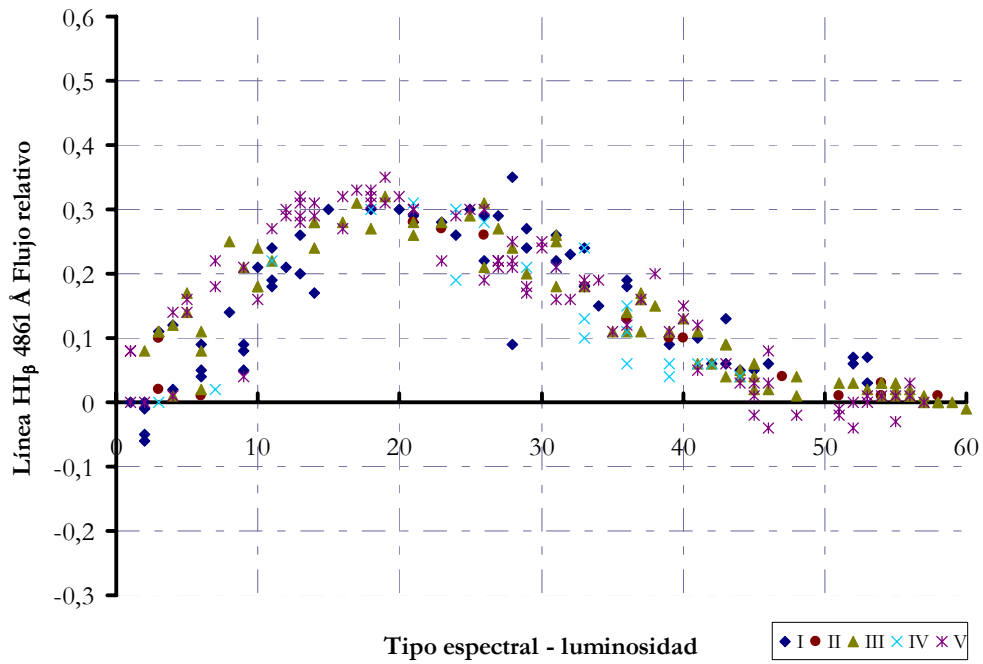
Índice 14



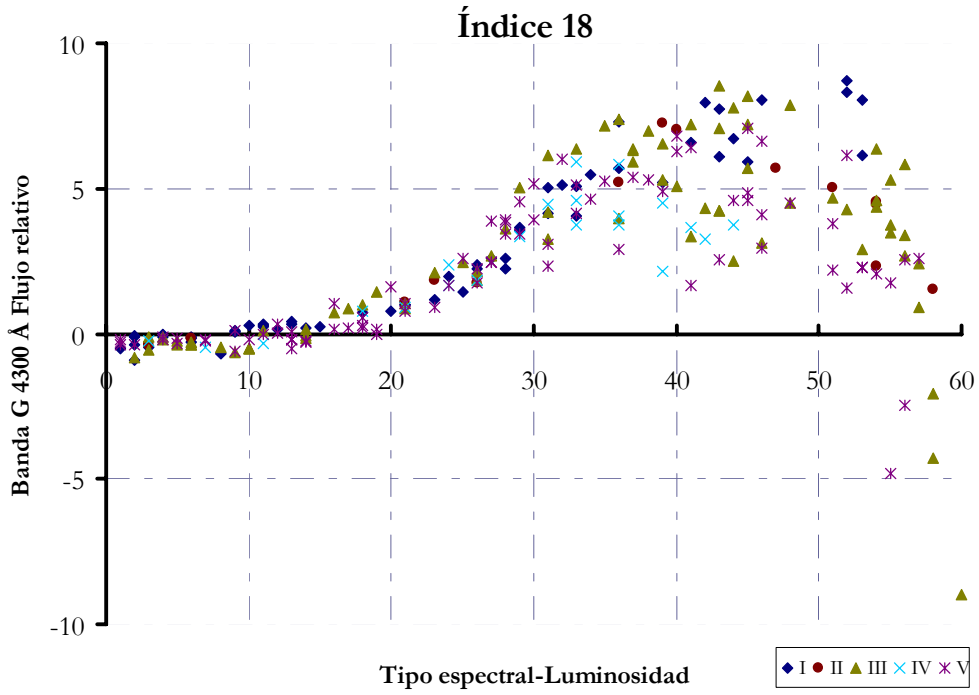
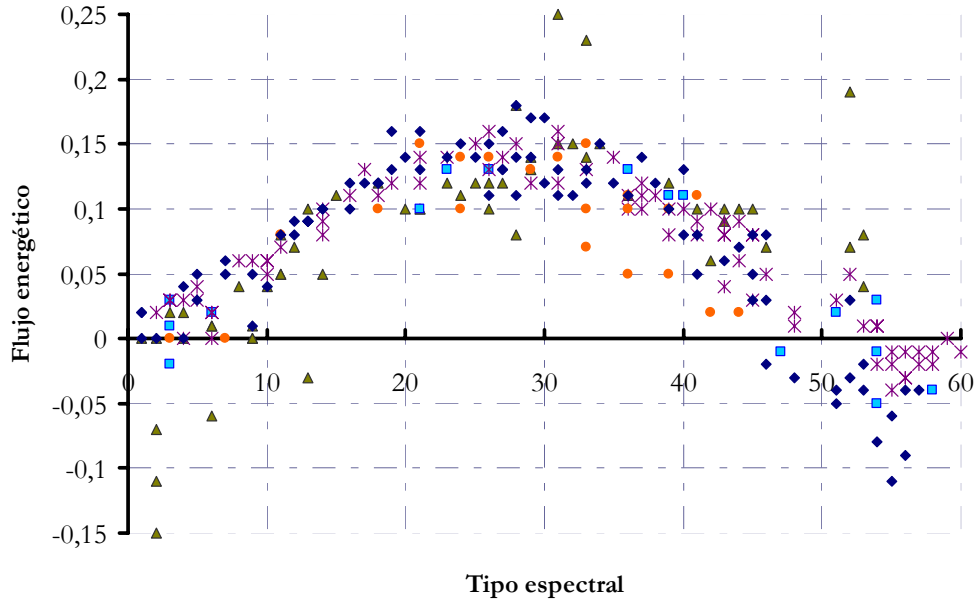
Línea HeI 4471 A (Id. 15)



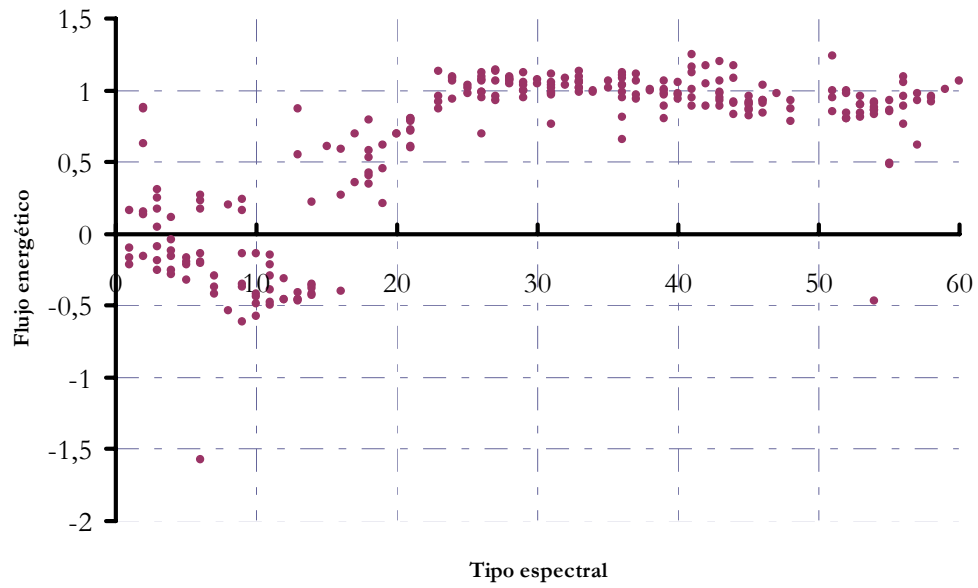
Índice 16



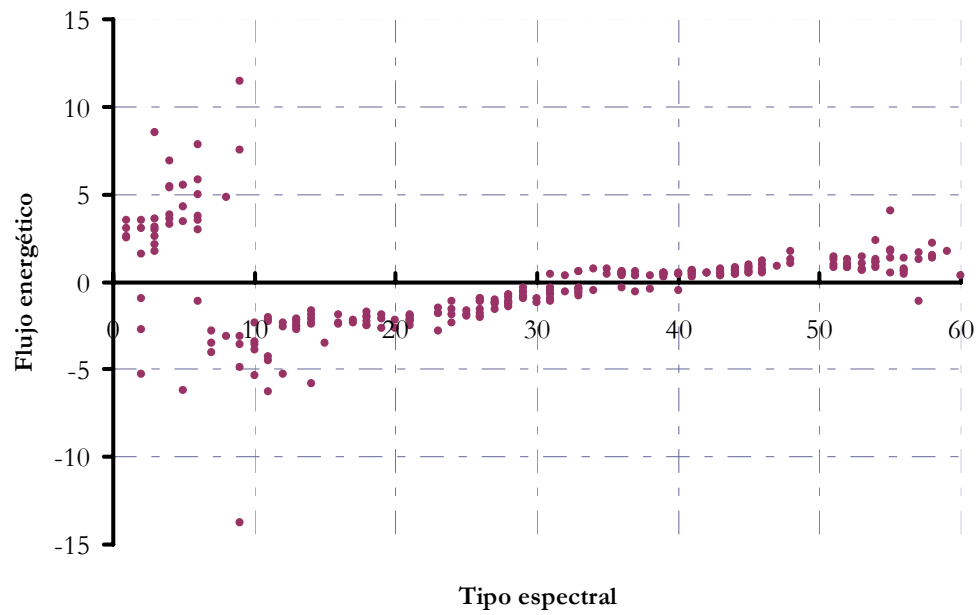
Línea $H\text{I}_\alpha$ 6563A (Id. 17)



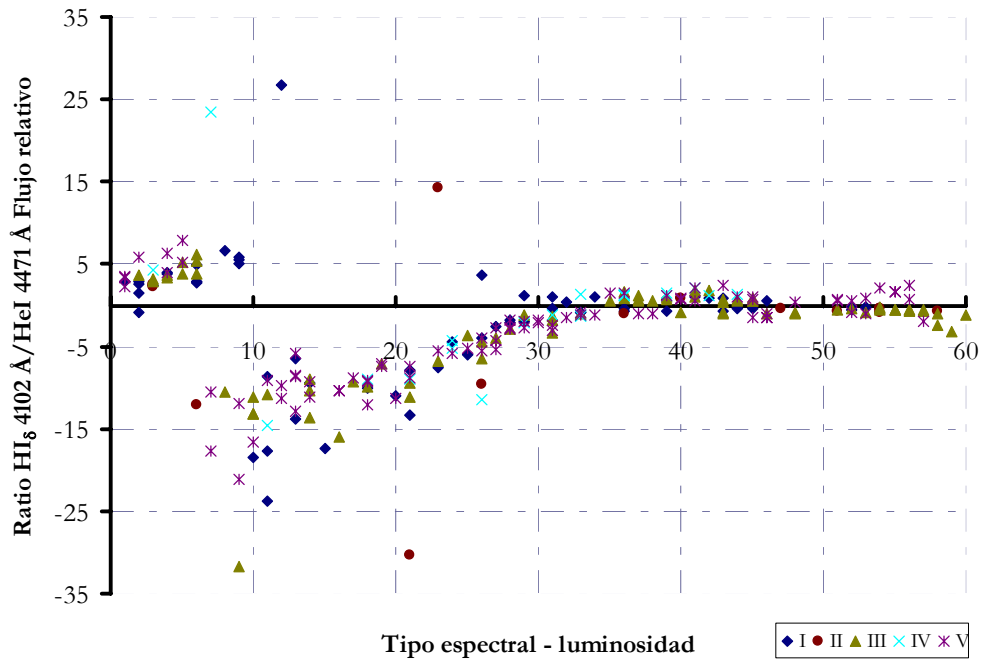
Ratio CaII 3933 /CaII 3968 (Id. 19)



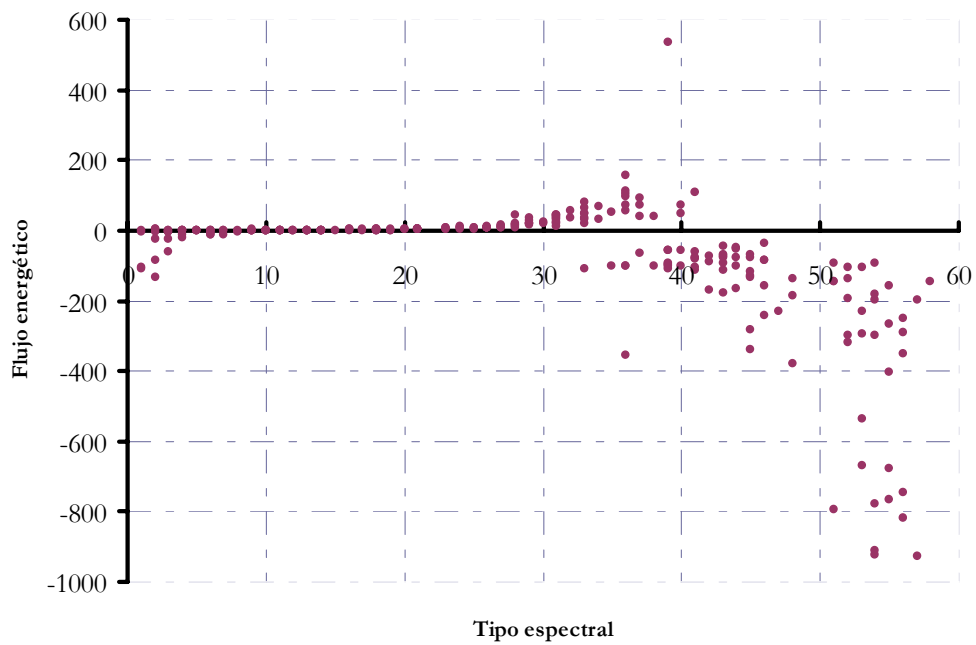
Ratio HI_δ/HeI 4026 A (Id 20)

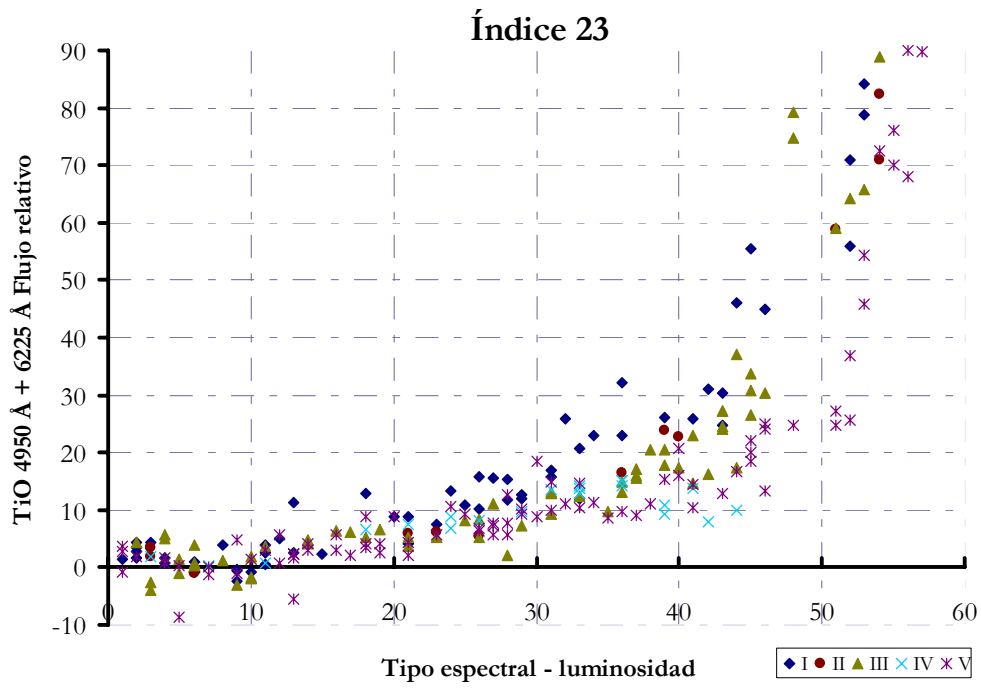


Índice 21

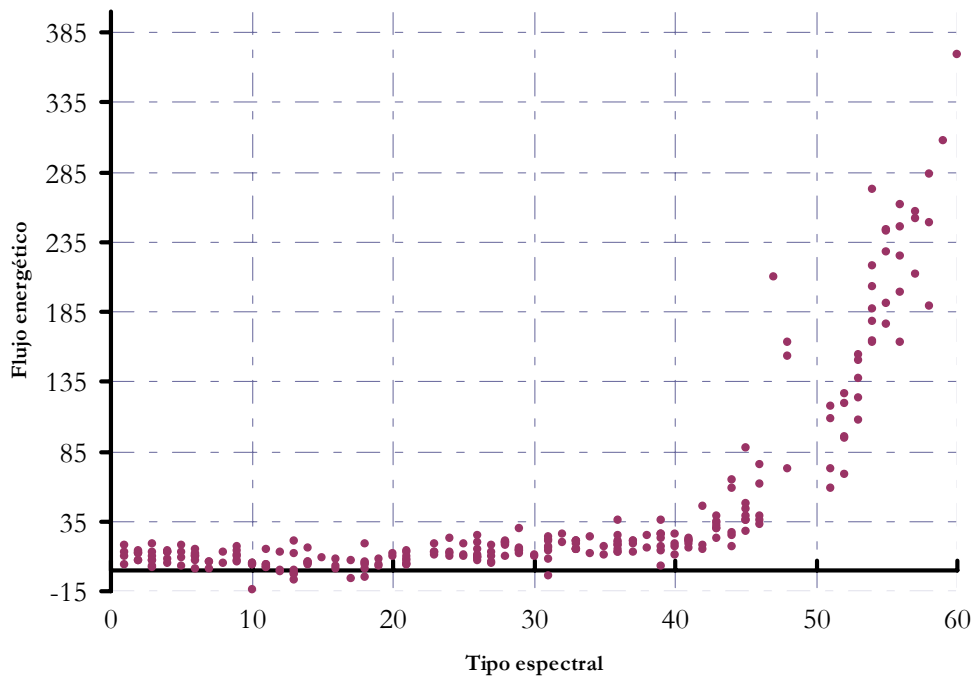


Ratio BandaG/ HI_γ (Id. 22)

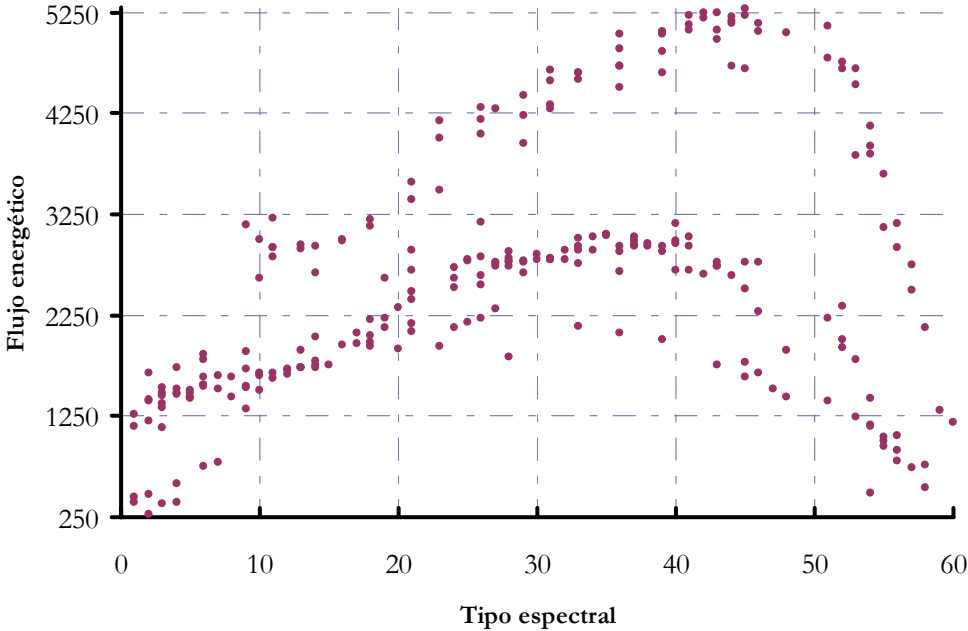




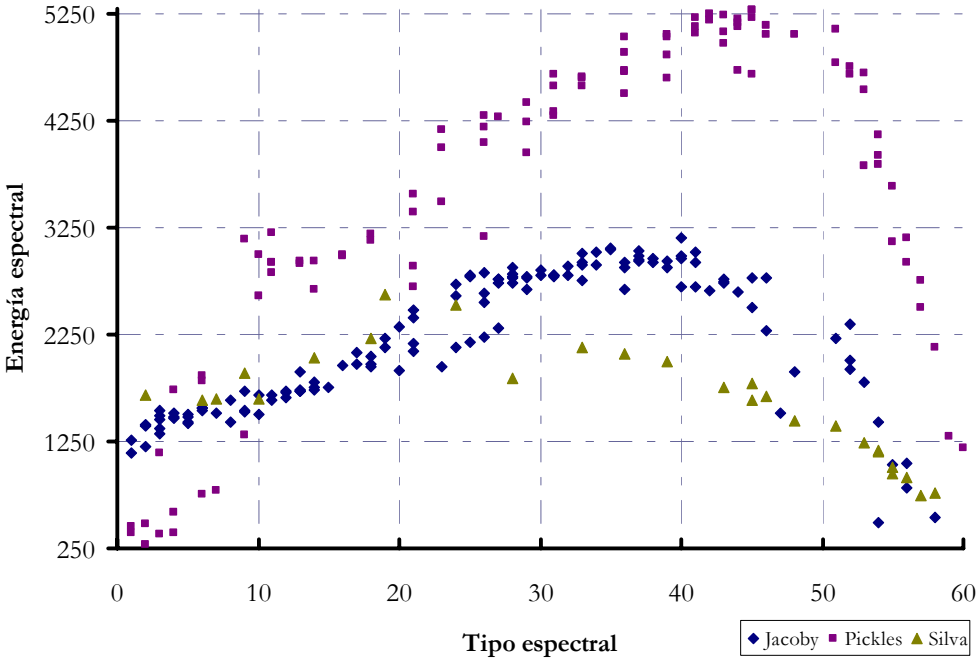
Bandas TiO secundarias (Id. 24)



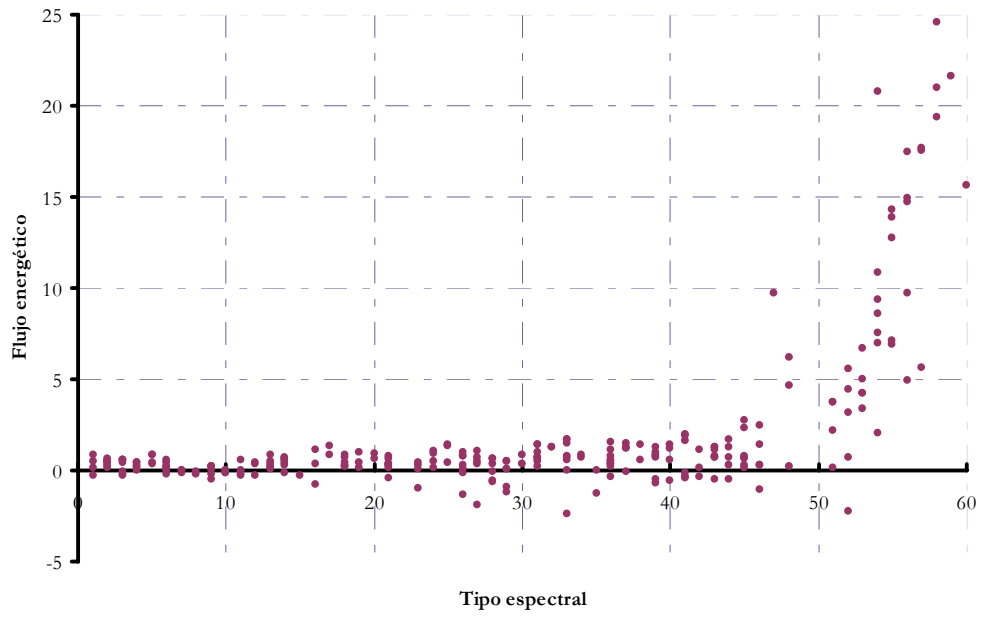
Energía espectral (Id. 25)



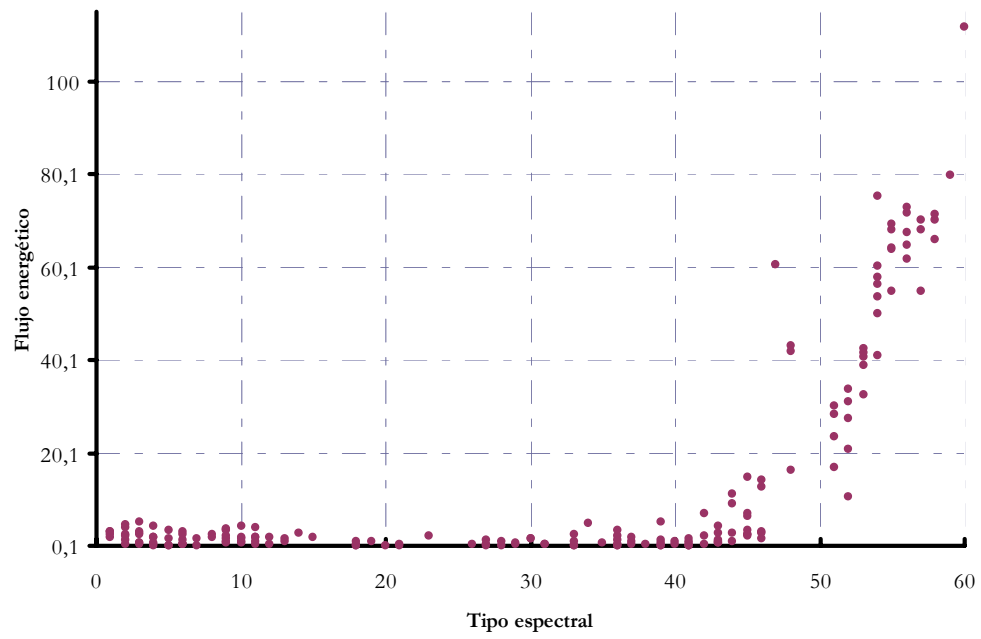
Índice 25



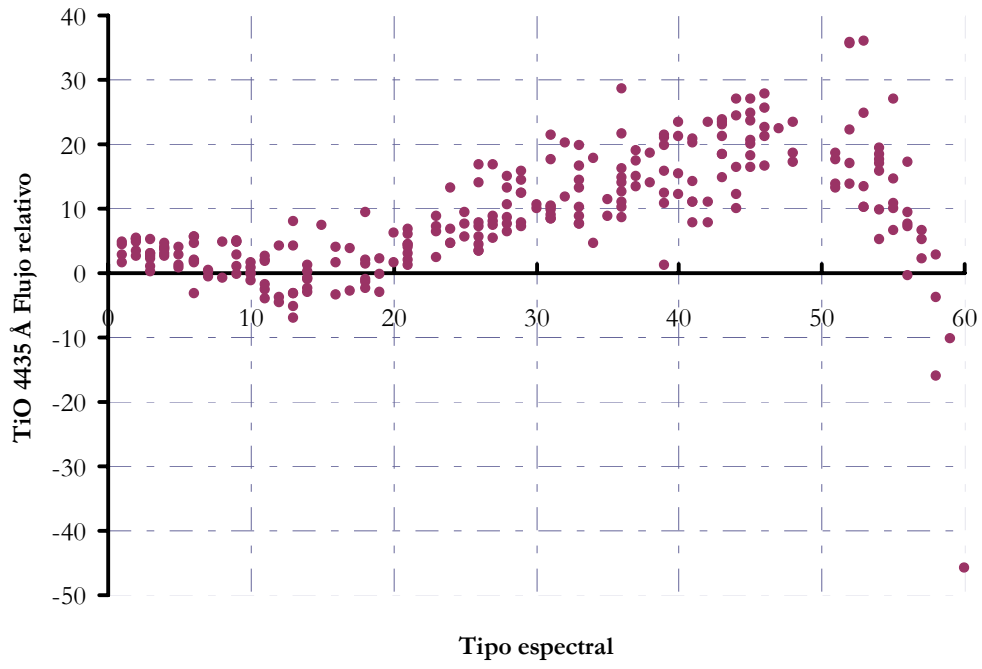
Banda 4953 (Id. 26)



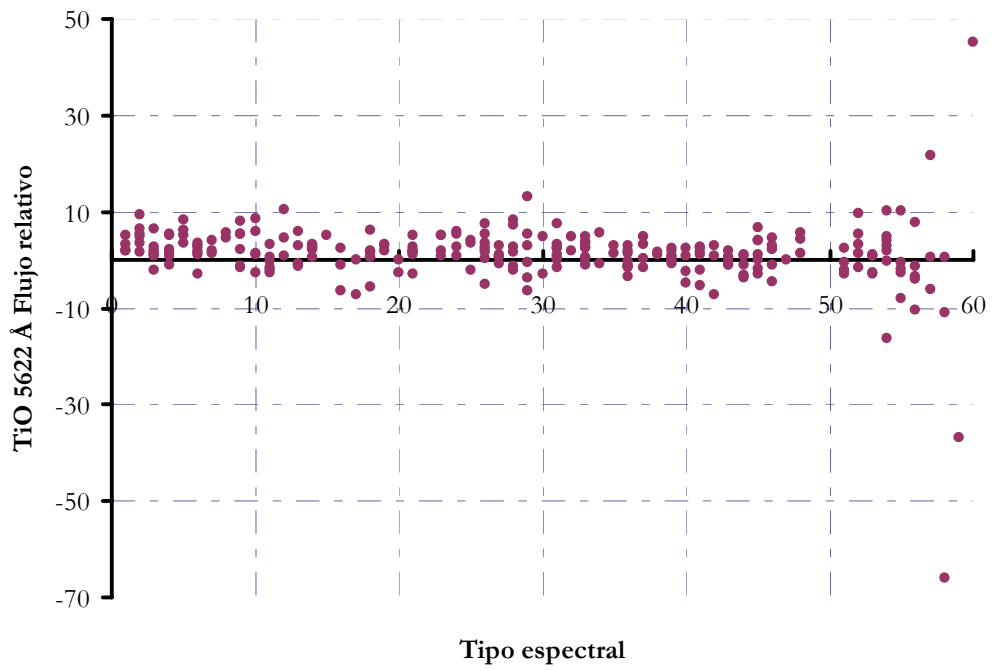
Banda 6140 (Id. 27)



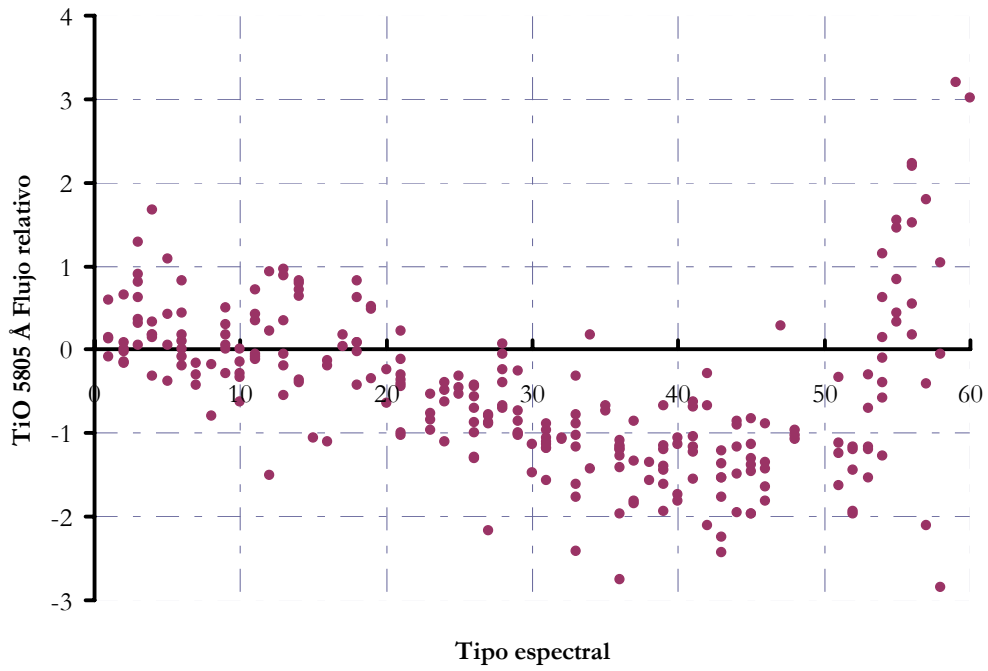
Índice 28



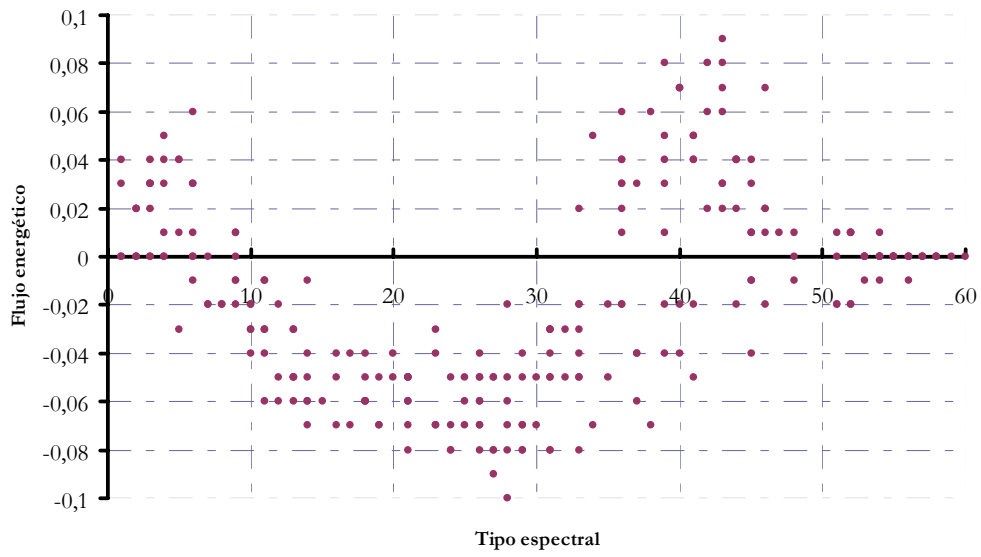
Índice 29



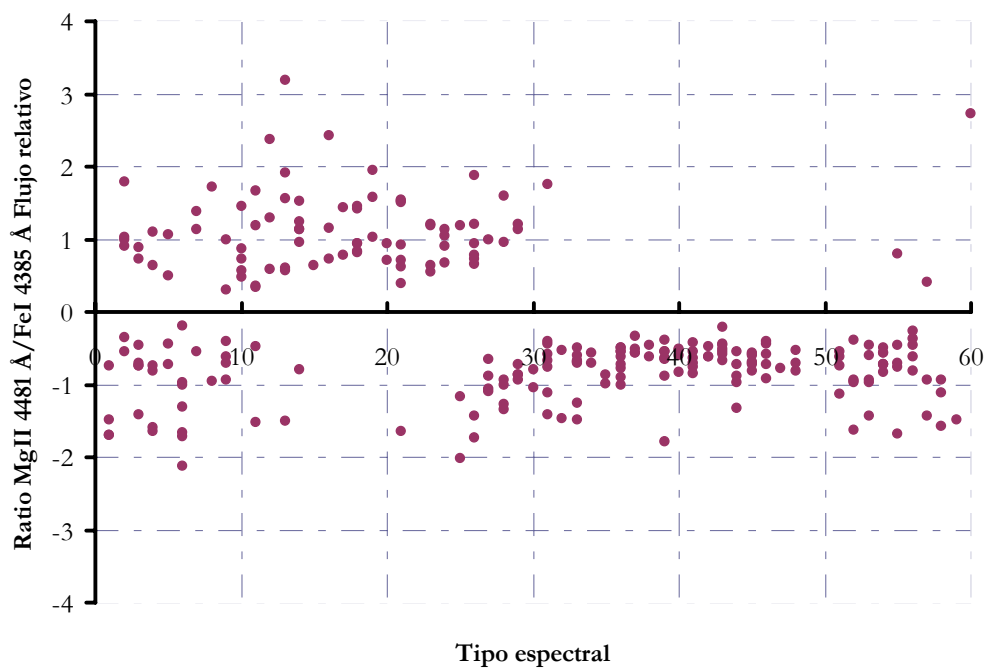
Índice 30



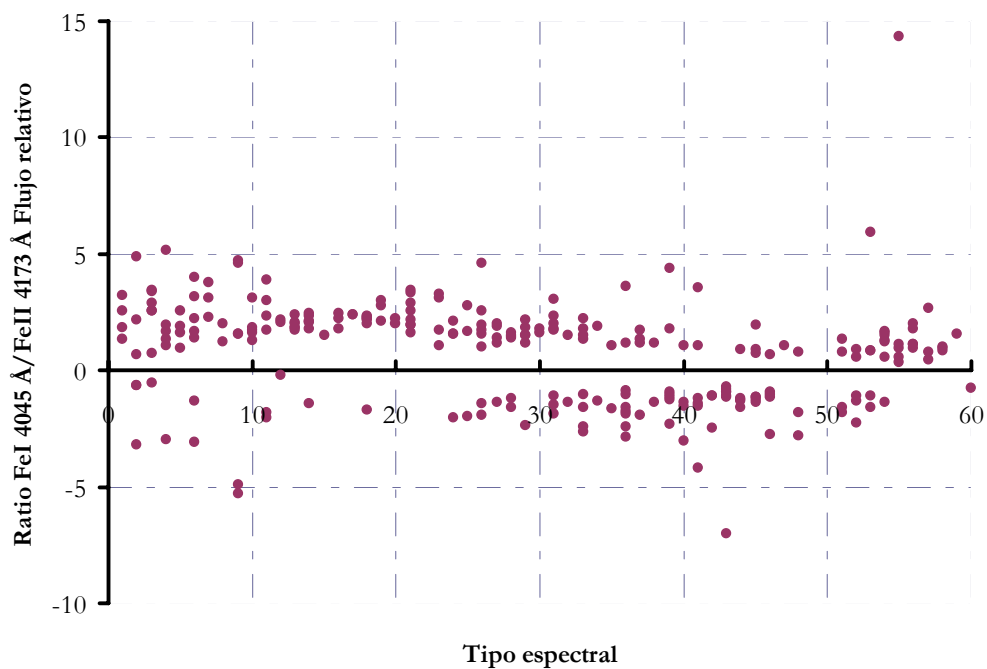
Línea 4144 HeI (Id. 31)



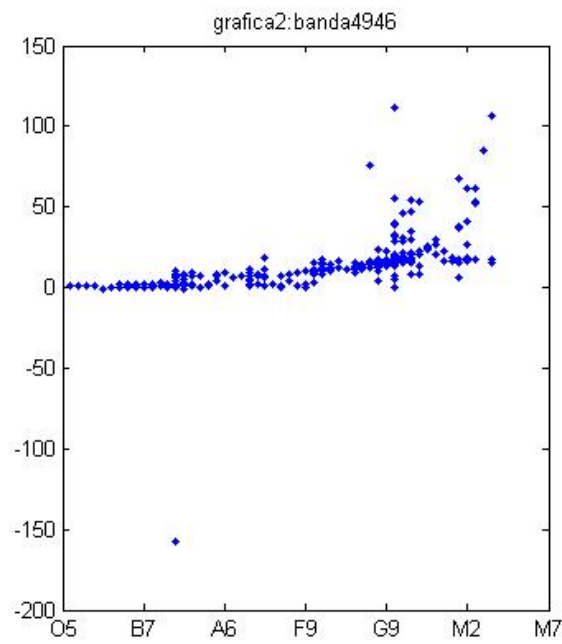
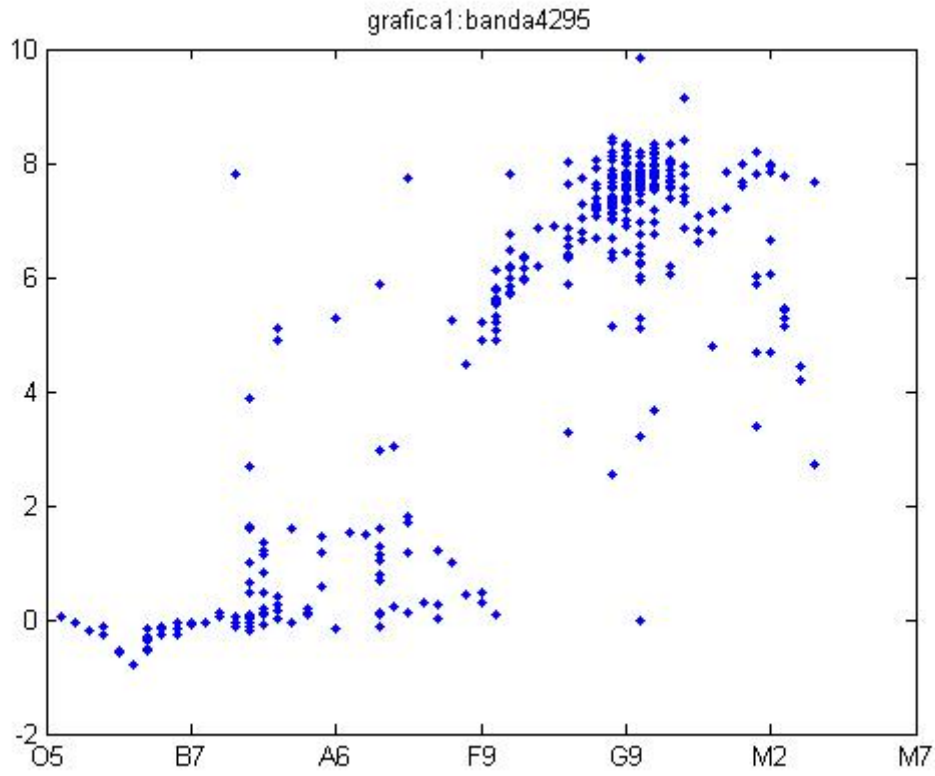
Índice 32

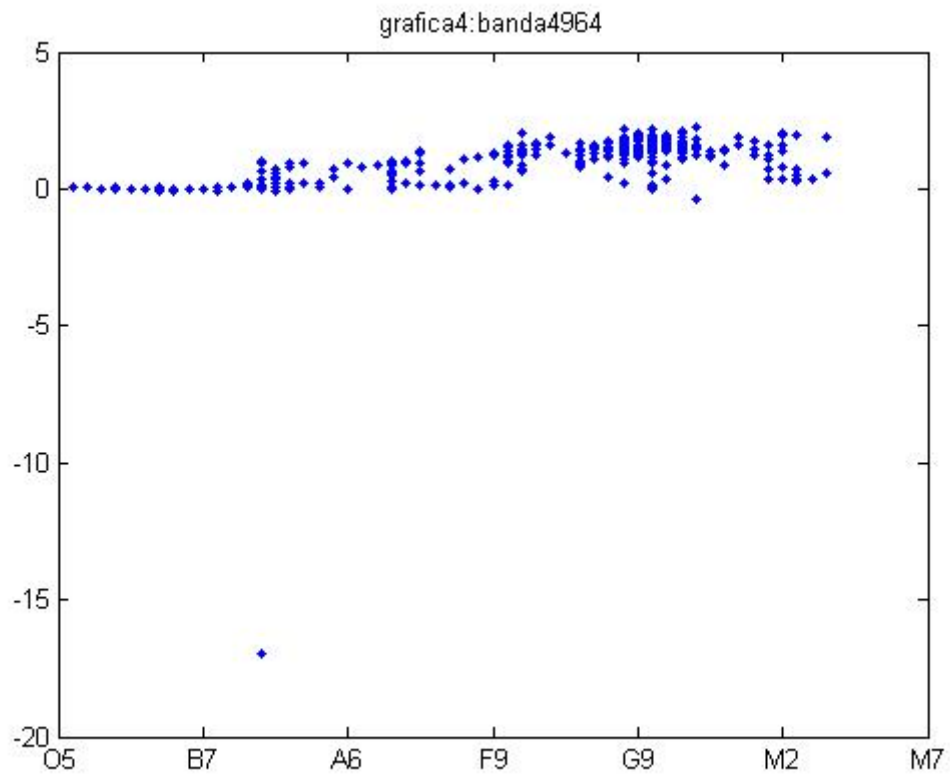
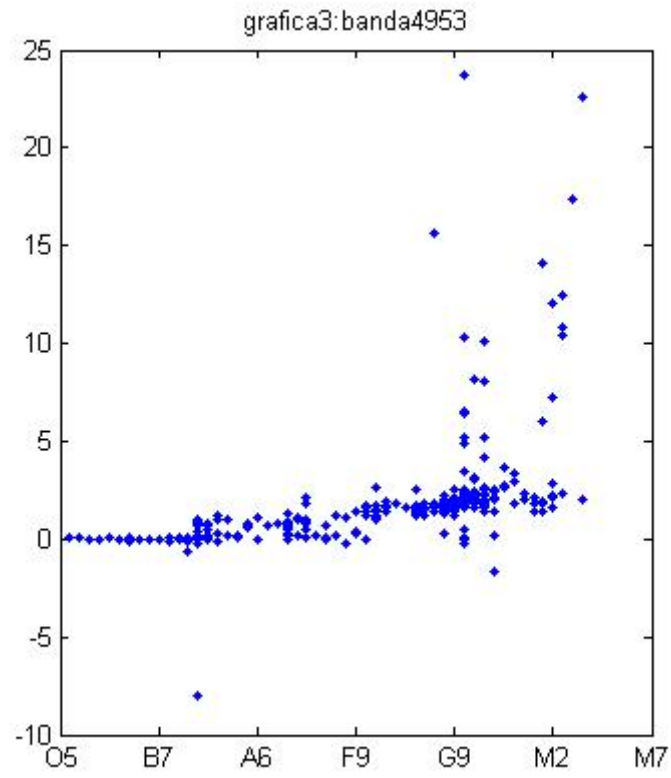


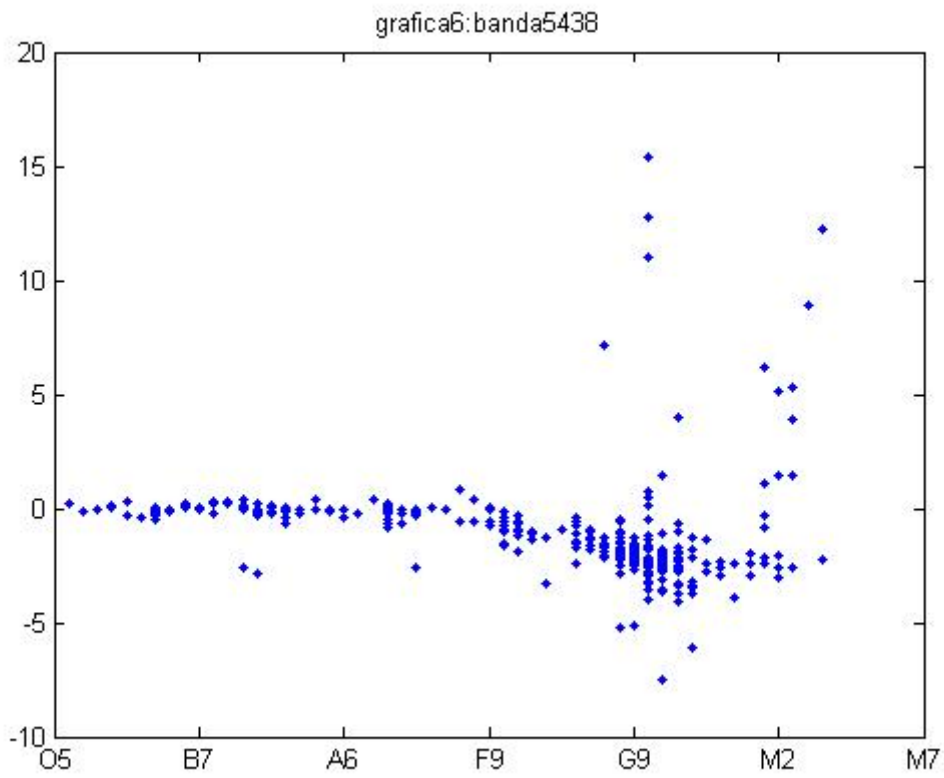
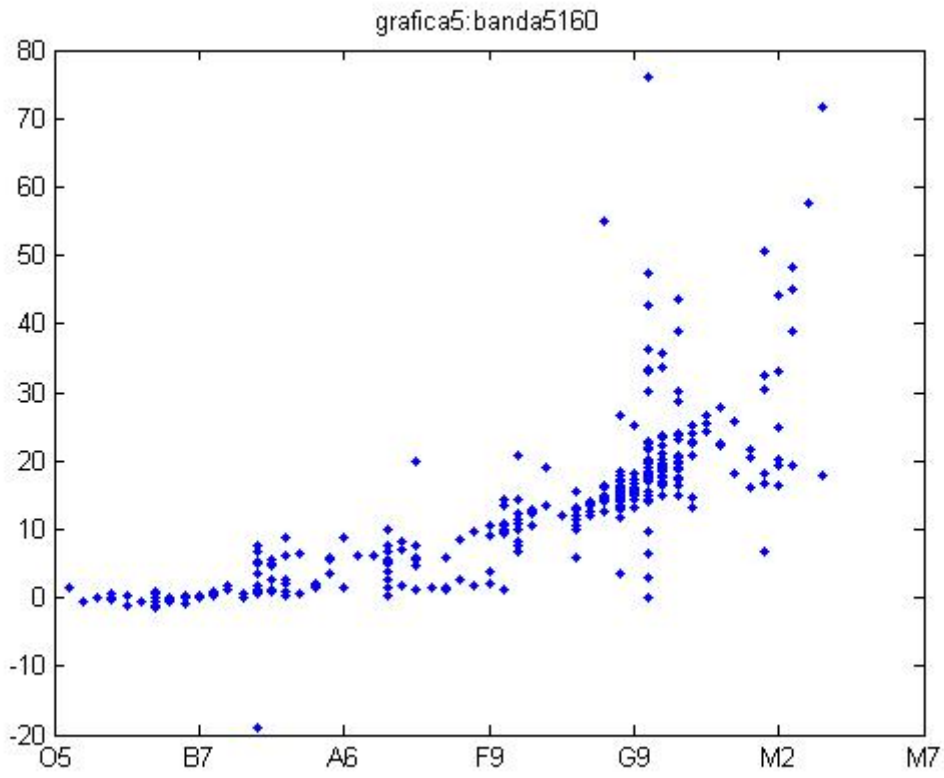
Índice 33

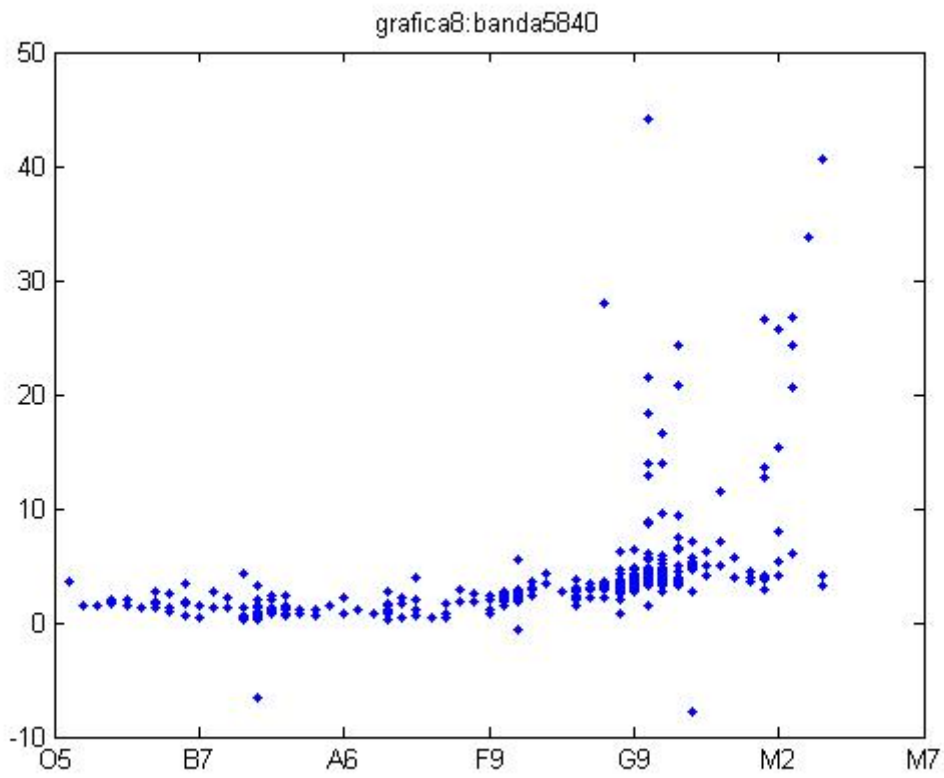
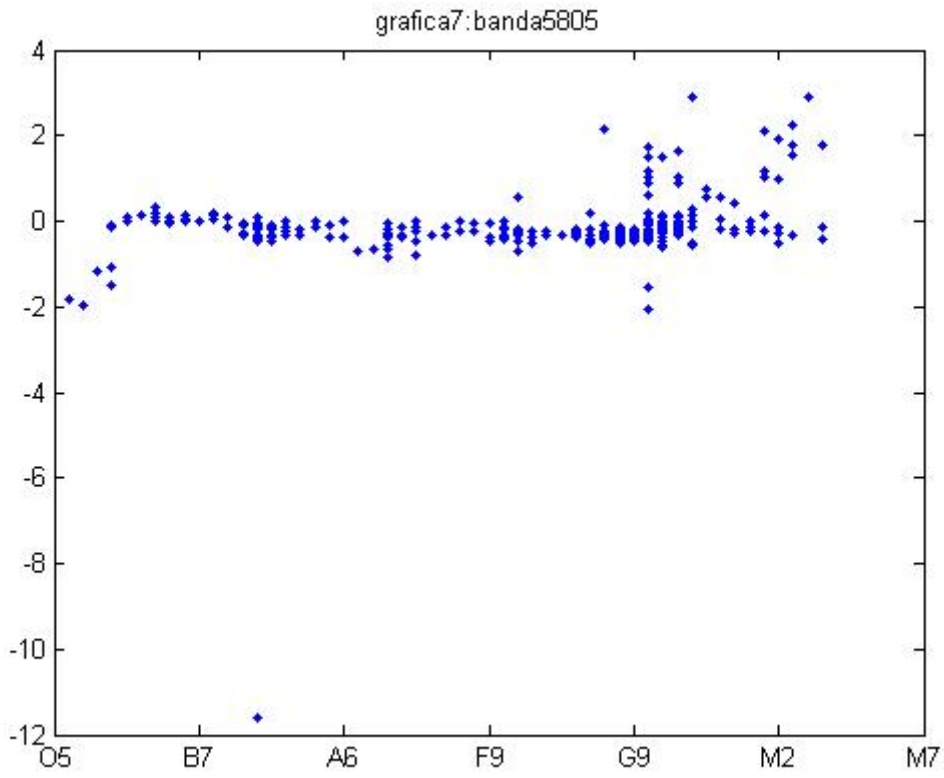


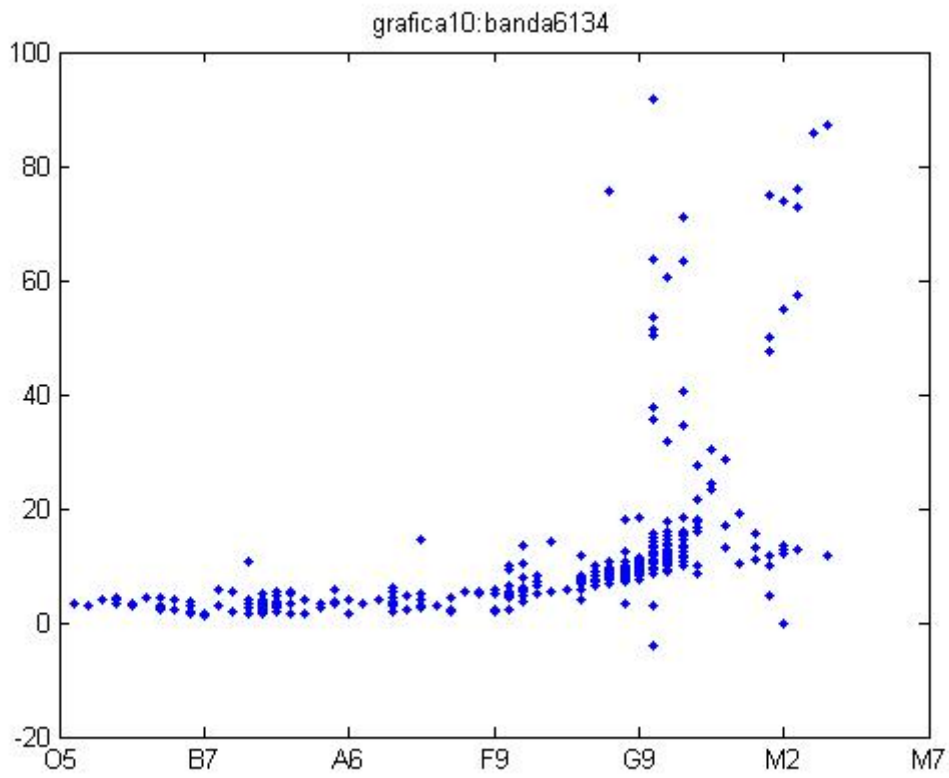
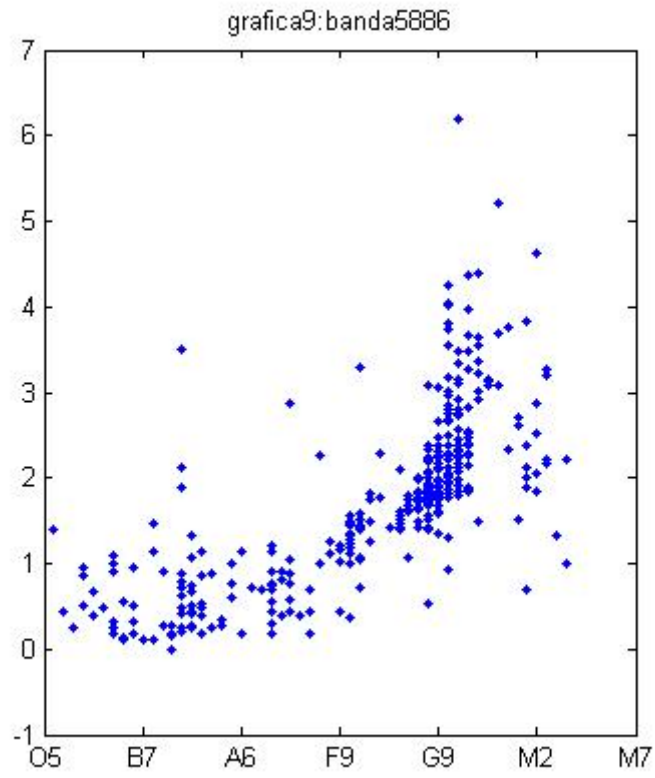
Enfoque híbrido II

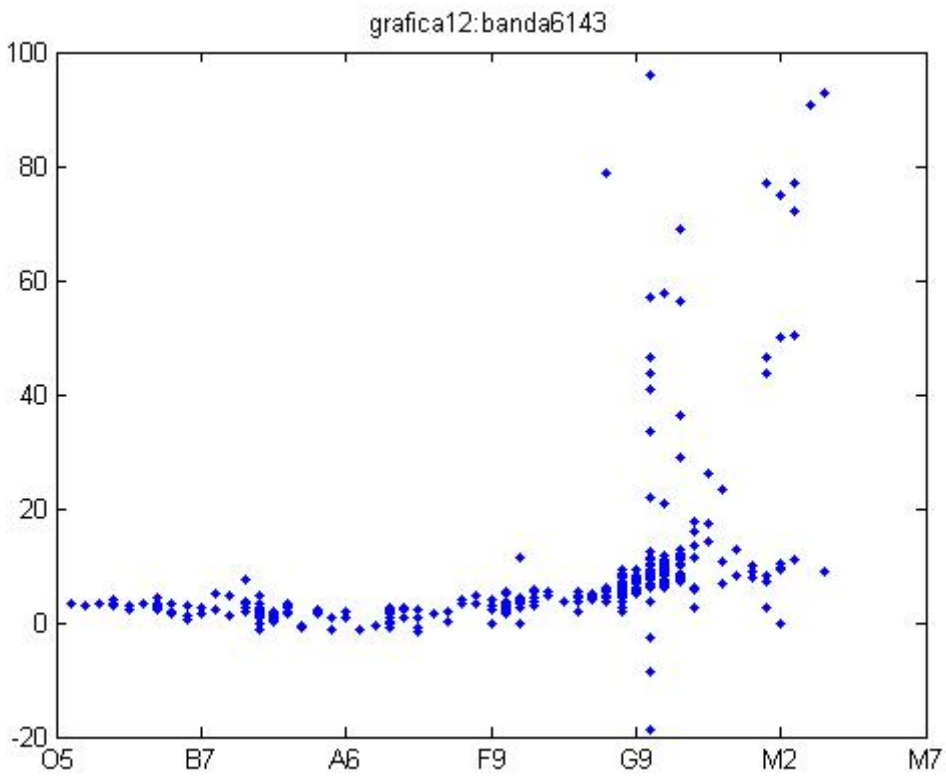
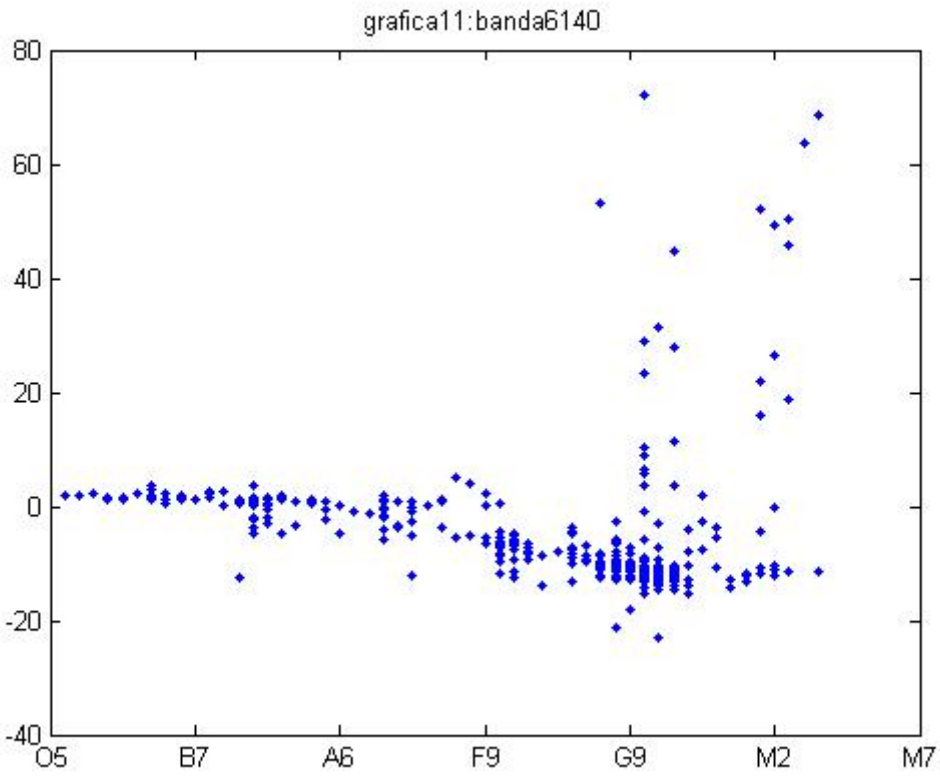


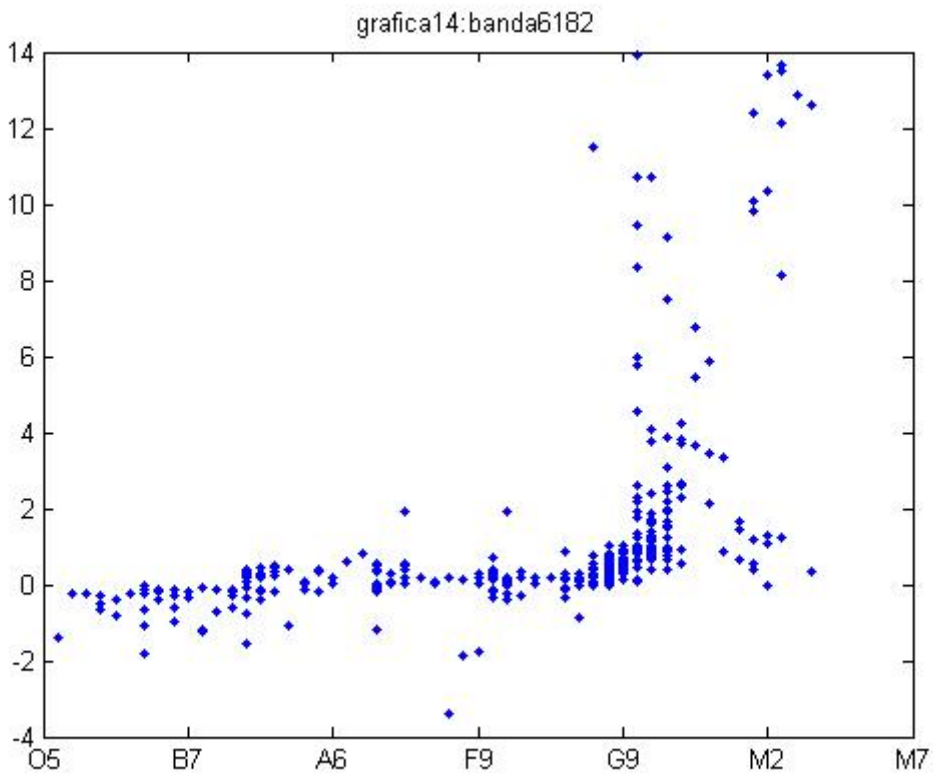
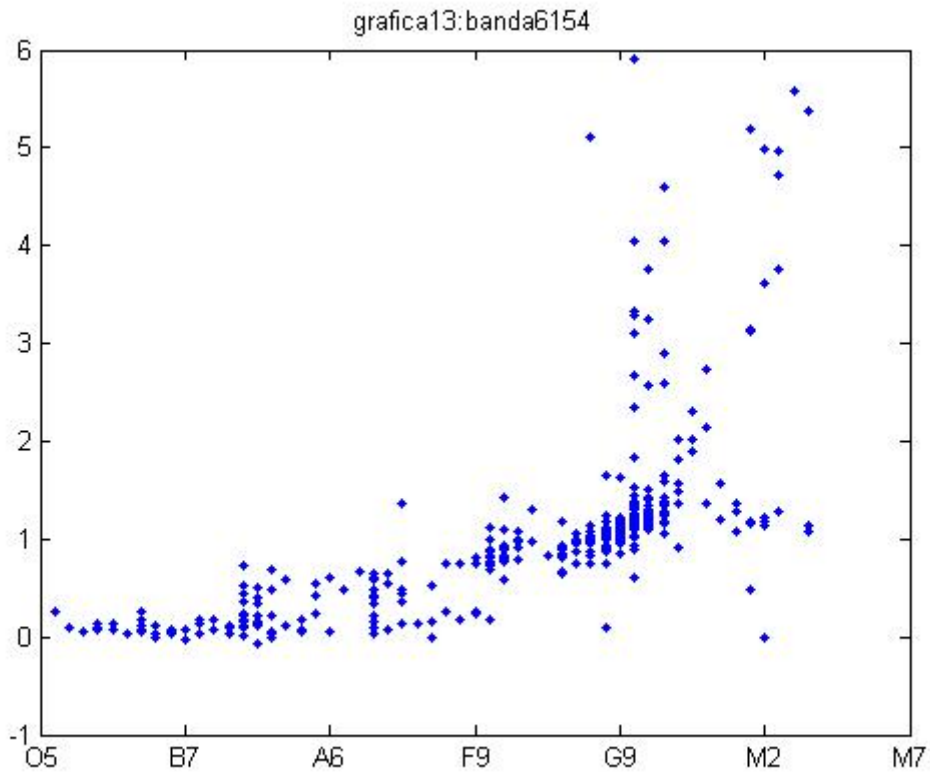




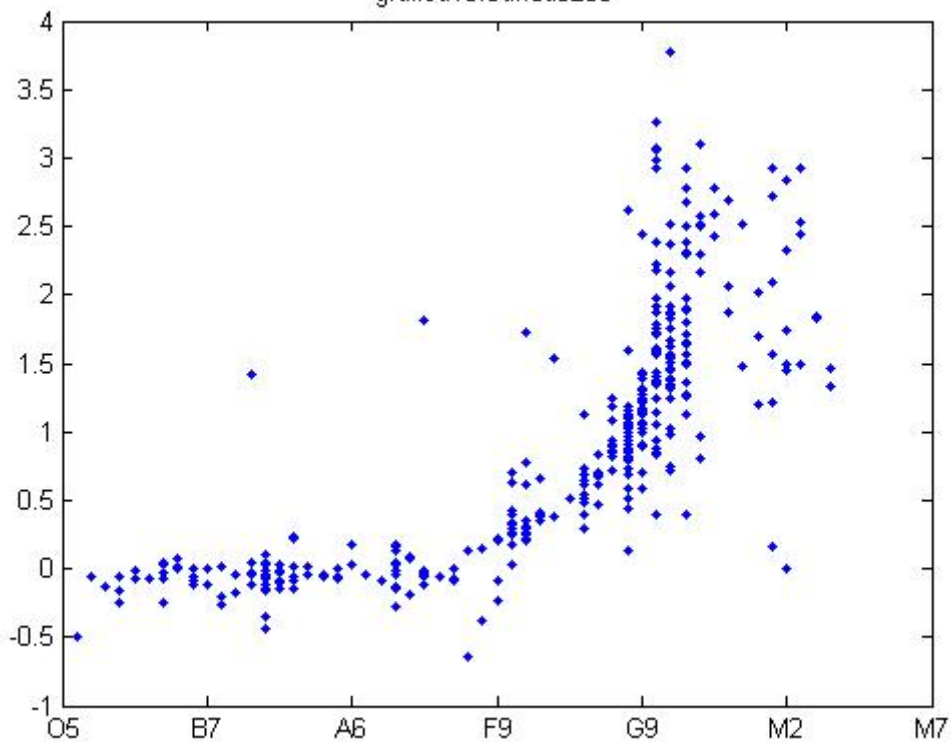








grafica15:banda6208



grafica16:linea3933

